

Fisiología Vegetal

Clase - 4

<http://www.biouls.cl/>

¿Preguntas de la clase anterior?

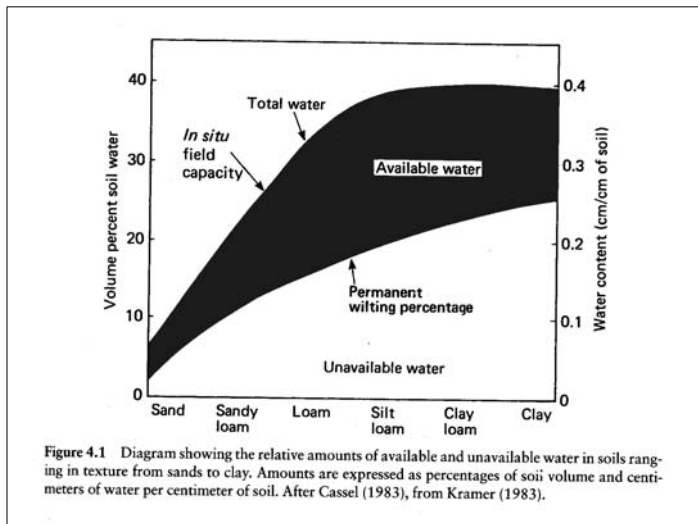
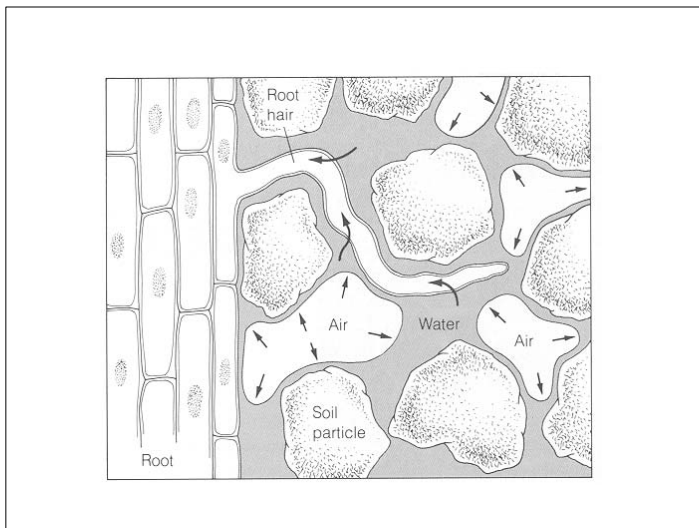
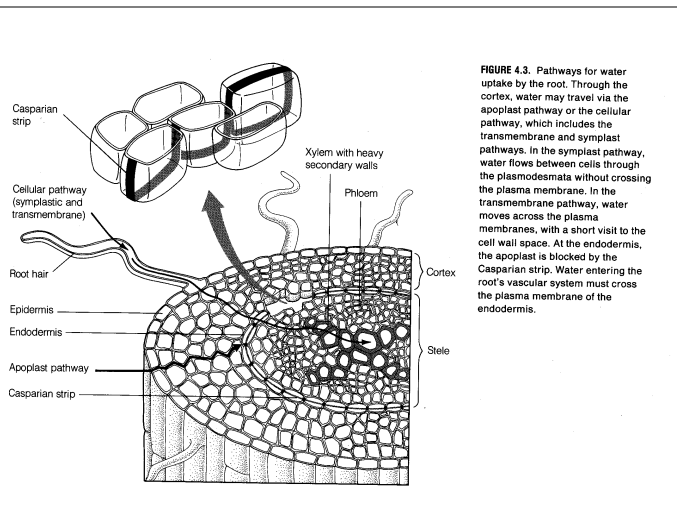
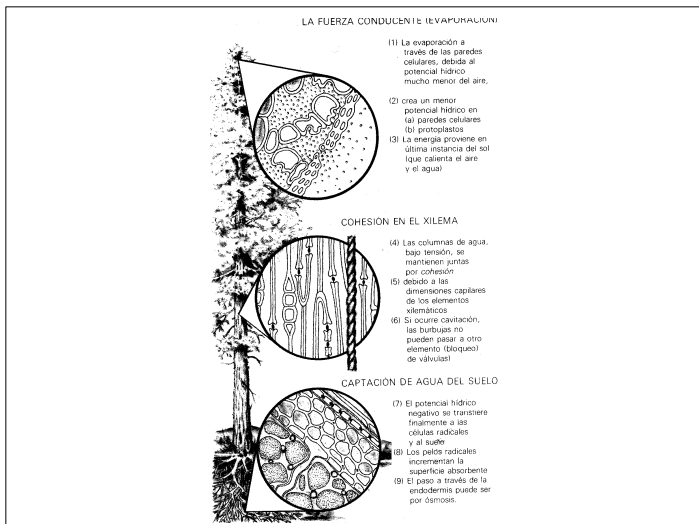
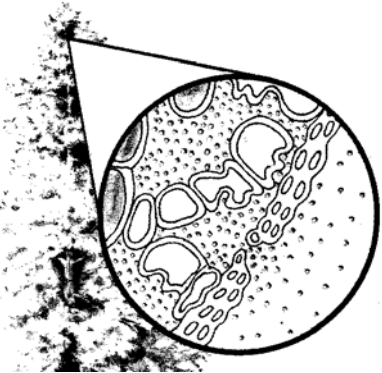


Figure 4.1 Diagram showing the relative amounts of available and unavailable water in soils ranging in texture from sands to clay. Amounts are expressed as percentages of soil volume and centimeters of water per centimeter of soil. After Cassel (1983), from Kramer (1983).

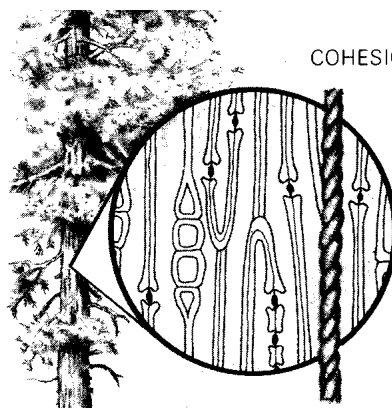


LA FUERZA CONDUCENTE (EVAPORACIÓN)



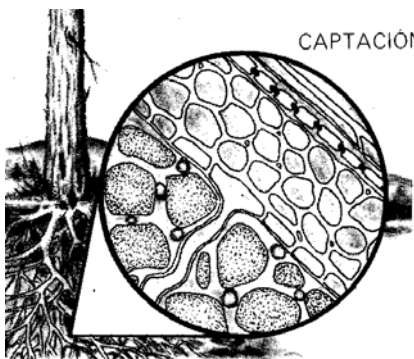
- (1) La evaporación a través de las paredes celulares, debido al potencial hídrico mucho menor del aire,
- (2) crea un menor potencial hídrico en
 - (a) paredes celulares
 - (b) protoplastos
- (3) La energía proviene en última instancia del sol (que calienta el aire y el agua)

COHESIÓN EN EL XILEMA



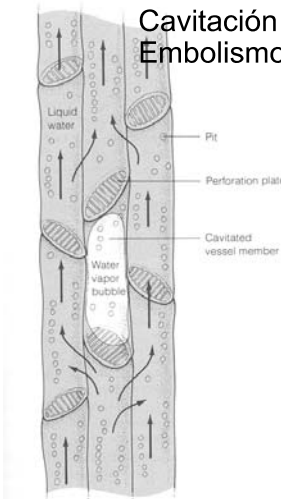
- (4) Las columnas de agua, bajo tensión, se mantienen juntas por *cohesión*
- (5) debido a las dimensiones capilares de los elementos xilemáticos
- (6) Si ocurre cavitación, las burbujas no pueden pasar a otro elemento (bloqueo de válvulas)

CAPTACIÓN DE AGUA DEL SUELO:



- (7) El potencial hídrico negativo se transfiere finalmente a las células radicales y al suelo
- (8) Los pelos radicales incrementan la superficie absorbente
- (9) El paso a través de la endodermis puede ser por ósmosis.

Cavitación Embolismo



Nutrición Mineral

Clase 4

- Análisis elemental
- Métodos para el estudio de nutrición mineral
- Solución para cultivo hidropónico
- Criterios para definir un elemento esencial.
- Función de elementos esenciales
- Existencia de translocación del elemento.

Tabla 6-1 Análisis elemental de partes vegetales seleccionadas

Elemento	Parte aérea de maíz (% de peso seco)	Hoja de maíz (% de peso seco)	Hojas de cerezo (% de peso seco)
Oxígeno	44.4	—	—
Carbono	43.6	—	—
Hidrógeno	6.2	—	—
Nitrógeno	1.5	3.2	2.4
Potasio	0.92	2.1	0.73
Calcio	0.23	0.52	1.7
Fósforo	0.20	0.31	0.15
Magnesio	0.18	0.32	0.61
Azufre	0.17	0.17	0.15
Cloro	0.14	—	—
Hierro	0.06	0.012	0.0058
Manganese	0.04	0.009	0.0044
Cobre	—	0.0009	0.0006
Boro	—	0.0016	0.003
Cinc	—	0.003	0.001
Silicio	1.2	—	—
Aluminio	0.89	—	—
Sin determinar	0.28	—	—

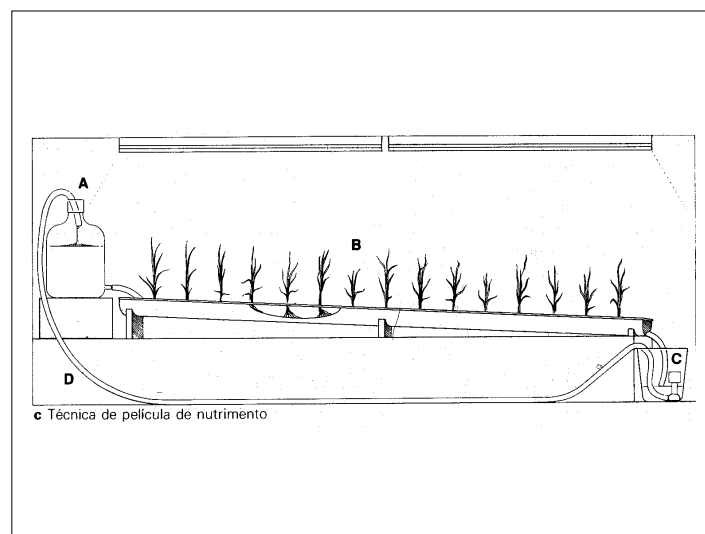
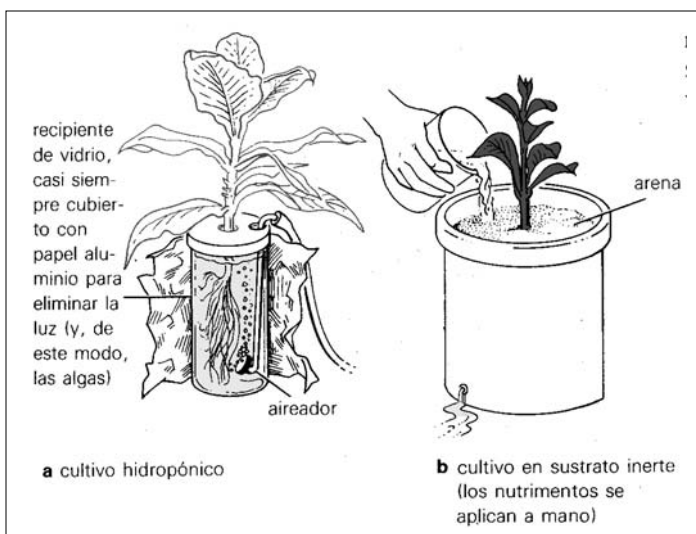


Tabla 6-2 Dos soluciones nutritivas para cultivos hidropónicos

Solución núm. 2 de Hoagland y Arnon			Solución de Shive modificada por Evans		
Sal	mM	mg/L(ppm)	Sal	mM	mg/L(ppm)
KNO ₃	6.0	235 K 196 N como NO ₃	Ca(NO ₃) ₂ •4H ₂ O	5.0	140 N como NO ₃ 200 Ca
Ca(NO ₃) ₂ •4H ₂ O	4.0	14 N como NH ₄ ⁺ 160 Ca	K ₂ SO ₄	2.5	216 K 160 S
NH ₄ H ₂ PO ₄	1.0	31 P 49 Mg	KH ₂ PO ₄	0.5	49 Mg 16 P
MgSO ₄ •7H ₂ O	2.0	64 S	MgSO ₄ •7H ₂ O	2.0	
Fe (quelato) ^c			Fe (versenato)	0.5 Fe	
MnCl ₂ •4H ₂ O	0.009	0.5 Mn; 6.5 Cl	KCl	9.0 Cl	
H ₃ BO ₃	0.046	0.5 B	MnSO ₄	0.25 Mn	
ZnSO ₄ •7H ₂ O	0.0008	0.05 Zn	H ₃ BO ₃	0.25 B	
CuCO ₃ •5H ₂ O	0.0003	0.02 Cu	ZnSO ₄ •7H ₂ O	0.25 Zn	
H ₂ MoO ₄ •H ₂ O	0.0001	0.01 Mo	CuSO ₄ •5H ₂ O	0.02 Cu	
			Na ₂ MoO ₄	0.02 Mo	

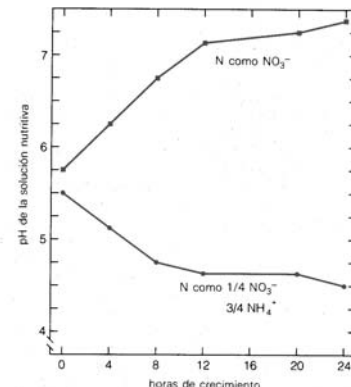
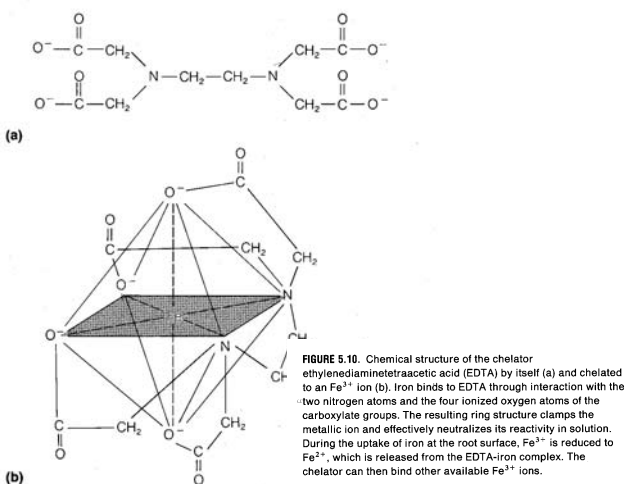


Figura 6-2 Cambios en el tiempo del pH de la solución nutritiva; el nitrógeno se proporcionó por completo en forma de nitrato o principalmente como iones amonio. Los girasoles, de crecimiento rápido, se mantuvieron en recipientes de 1 l con solución nutritiva en un invernadero durante fines de mayo. (Datos no publicados de C. W. Rose 1)



Criterios para definir un elemento esencial

(Epstein 1972)

- Un elemento es esencial:
- Si a planta no puede completar su ciclo de vida (formando semillas viables) en total ausencia del elemento)
- Si se muestra que es constituyente de una molécula que es esencial para la planta.

Table 1.3
Average Concentrations of Mineral Nutrients in Plant Shoot Dry Matter that are Sufficient for Adequate Growth^a

Element	Abbreviation	$\mu\text{mol g}^{-1}$ dry wt	mg kg^{-1} (ppm)	%	Relative number of atoms
Molybdenum	Mo	0.001	0.1	—	1
Nickel ^b	Ni	~0.001	~0.1	—	1
Copper	Cu	0.10	6	—	100
Zinc	Zn	0.30	20	—	300
Manganese	Mn	1.0	50	—	1000
Iron	Fe	2.0	100	—	2000
Boron	B	2.0	20	—	2000
Chlorine	Cl	3.0	100	—	3000
Sulfur	S	30	—	0.1	30 000
Phosphorus	P	60	—	0.2	60 000
Magnesium	Mg	80	—	0.2	80 000
Calcium	Ca	125	—	0.5	125 000
Potassium	K	250	—	1.0	250 000
Nitrogen	N	1000	—	1.5	1 000 000

^aFrom Epstein (1965).

^bBased on Brown *et al.* (1987b).

Elementos esenciales para plantas superiores e inferiores

Table 1.2
Essentiality of Mineral Elements for Higher and Lower Plants

Classification	Element	Higher plants	Lower plants
Macronutrient	N, P, S, K, Mg, Ca	+	+ (Exception: Ca for fungi)
Micronutrient	Fe, Mn, Zn, Cu, B, Mo, Cl, Ni	+	+ (Exception: B for fungi)
Micronutrient and 'beneficial' element	Na, Si, Co I, V	±	±

Requerimiento específico de Cobalto para la fijación biológica de nitrógeno en Poroto de Soya

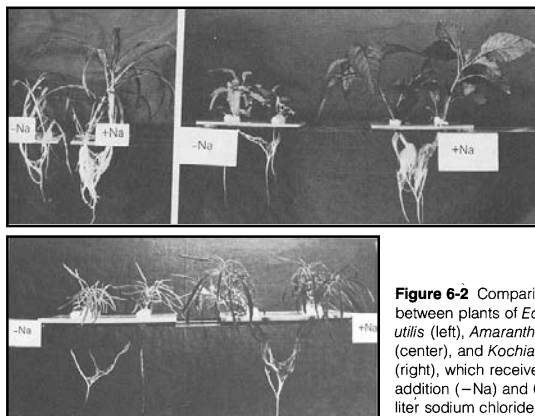
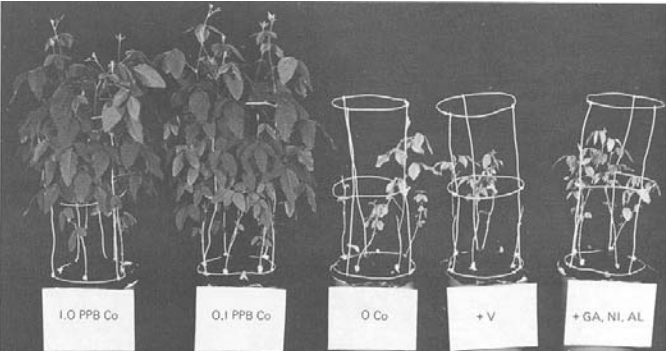


Figure 6-2 Comparisons between plants of *Echinochloa utilis* (left), *Amaranthus tricolor* (center), and *Kochia childsi* (right), which received no addition (-Na) and 0.10 meq/liter sodium chloride (+Na).

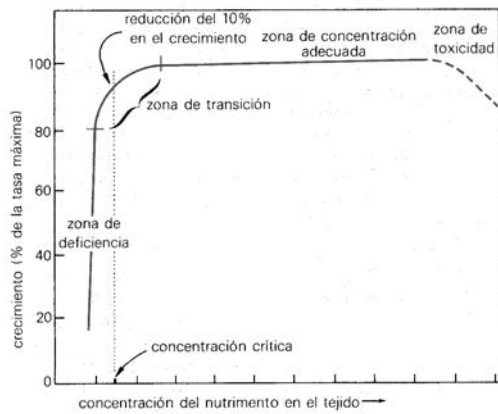
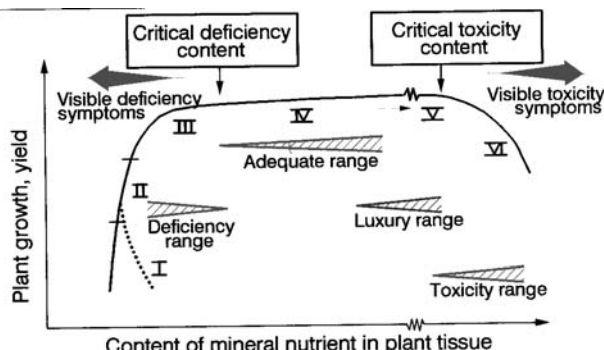


Figura 6-5 Gráfica generalizada del crecimiento como función de la concentración de un nutriente en el tejido vegetal. (Según Epstein, 1972.)



Range	I deficient	II low	III adequate	IV high	V toxic
Element*					
P (%)	<0.16	0.16-0.25	0.26-0.50	0.51-0.80	>0.80
K (%)	<1.26	1.26-1.70	1.71-2.50	2.51-2.75	>2.75
Mn (mg kg^{-1})	< 15	15 - 20	21 - 100	101 - 250	> 250

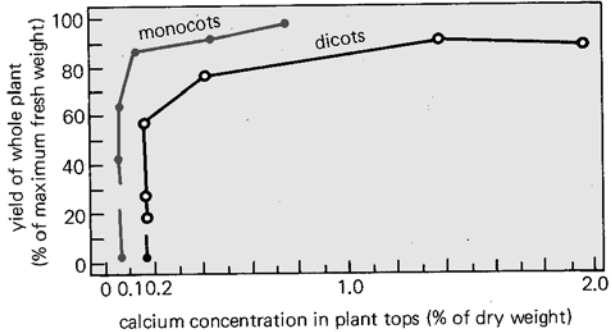


Figura 6.6 Relación entre la concentración de calcio en la porción superior de la planta y el rendimiento relativo de 18 dicotiledóneas y 11 monocotiledóneas después de 17 a 19 días de crecer en una solución con calcio a concentración constante. Cada punto representa los valores promedio para todas las especies en cada grupo de plantas, dado un solo tratamiento con Ca^{2+} (0.3, 0.8, 2.5, 10, 100 o 1.000 μM). (De J. F. Longeragan, 1968.)

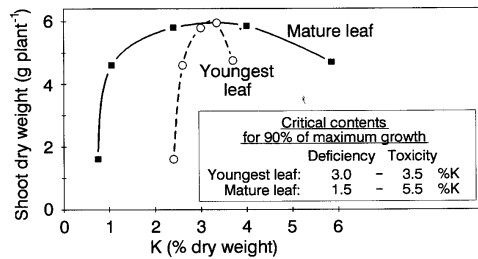


Fig. 12.4 Relationship between shoot dry weight and potassium content of mature and youngest leaves of tomato plants grown in nutrient solutions with various potassium concentrations. Inset: calculated critical contents.

Table 6.4 Percentage of Calcium, Potassium, Magnesium, Nitrogen, and Phosphorus in the Tops of Several Species of Plants Grown in a Greenhouse in an Alberta Loam Soil^a

Species	Percent of Dry Weight				
	Ca	K	Mg	N	P
Sunflower	1.68	3.47	0.730	1.47	0.080
Bean	1.46	1.19	0.570	1.48	0.053
Wheat	0.46	4.16	0.225	2.26	0.058
Barley	0.68	4.04	0.292	1.94	0.125

^aData of Newton, 1928, Soil Science, 26:86.

Table 2.1 Relationship between Ion Concentration in the Substrate and in the Cell Sap of *Nitella* and *Valonia*^a

Ion	<i>Nitella</i> concentration (mm)			<i>Valonia</i> concentration (mm)		
	A, Pond water	B, Cell sap	Ratio B/A	A, Seawater	B, Cell sap	Ratio B/A
Potassium	0.05	54	1080	12	500	42
Sodium	0.22	10	45	498	90	0.18
Calcium	0.78	10	13	12	2	0.17
Chloride	0.93	91	98	580	597	1

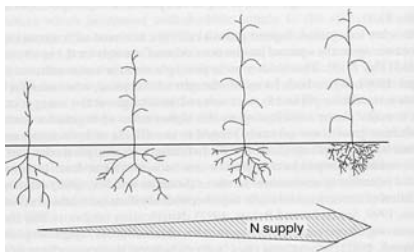
^aModified from Hoagland (1948).

TABLE 5.5. Roles of essential mineral elements

Element	Role(s)
N	Constituent of amino acids, amides, proteins, nucleic acids, nucleotides and coenzymes, hexosamines, etc.
P	Component of sugar phosphates, nucleic acids, nucleotides, coenzymes, phospholipids, phytic acid, etc. Has a key role in reactions in which ATP is involved.
K	Required as a cofactor for 40 or more enzymes. Has a role in stomatal movements. Maintains electroneutrality in plant cells.
S	Component of cysteine, cystine, methionine, and thus proteins. Constituent of lipoic acid, coenzyme A, thiamine pyrophosphate, glutathione, biotin, adenosine-5'-phosphosulfate, and 3-phosphadenosine.
Ca	Constituent of the middle lamella of cell walls. Required as a cofactor for some enzymes involved in the hydrolysis of ATP and phospholipids. Acts as a "second messenger" in metabolic regulation.
Mg	Required nonspecifically by a large number of enzymes involved in phosphate transfer. A constituent of the chlorophyll molecule.
Fe	Constituent of cytochromes and of nonheme iron proteins involved in photosynthesis, N_2 fixation, and respiration.
Mn	Required for activity of some dehydrogenases, decarboxylases, kinases, oxidases, and peroxidases, and required nonspecifically by other cation-activated enzymes. Required for photosynthetic evolution of O_2 .
B	Indirect evidence for involvement in carbohydrate transport. Borate forms complexes with certain carbohydrates. Natural borate complexes in plants have not been identified.
Cu	An essential component of ascorbic acid oxidase, tyrosinase, monoamine oxidase, uricase, cytochrome oxidase. Component of plastocyanin in spinach.
Zn	Essential constituent of alcohol dehydrogenase, glutamic dehydrogenase, carbonic anhydrase, and other enzymes.
Mo	A constituent of nitrate reductase. Essential to N_2 fixation.
Cl	Required for the photosynthetic reactions involved in O_2 evolution.

Table 12.1 Some principles of visual diagnosis of nutritional disorders

Plant part	Prevailing symptom	Disorder
Old and mature leaf blades	Chlorosis Necrosis	Uniform Intercinal or blotched Tip and marginal scorches Intercinal
Young leaf blades and apex	Chlorosis Necrosis (chlorosis) Deformations	Uniform Intercinal or blotched Ca, B, Cu Mo (Zn, B)
Old and mature leaf blades	Necrosis	Spots Tip and marginal scorches Chlorosis, necrosis
		Toxicity Mn (B) B, salt (spray injury) Nonspecific toxicity

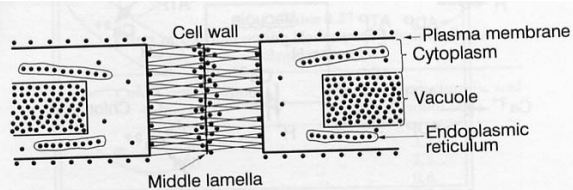


Representación esquemática del efecto del incremento en los niveles de fertilización con nitrógeno durante los primeros estados de desarrollo sobre las raíces y tallos de cereales.

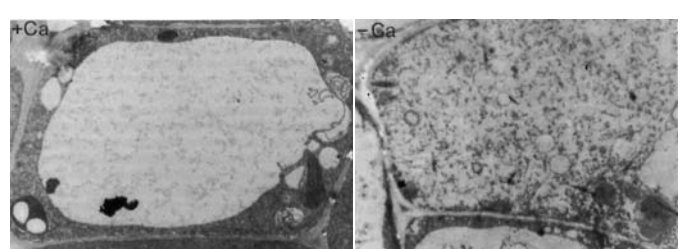
Table 8.5
Effect of Increasing Nitrogen Supply as NH_4NO_3 on Leaves of Rice

N supply (mg l ⁻¹)	Leaf blade			
	Length (cm)	Width (cm)	Area (cm ²)	Thickness (mg cm ⁻²)
5	49.0	0.89	30.6	4.9
20	56.1	1.13	47.8	4.1
200	60.3	1.25	56.1	3.8

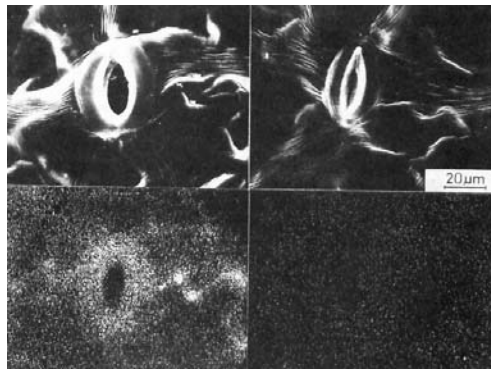
^aBased on Yoshida *et al.* (1969).



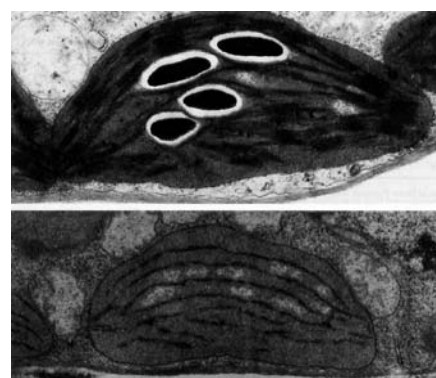
8.25 Schematic representation of two adjacent cells with a typical distribution of calcium (●).



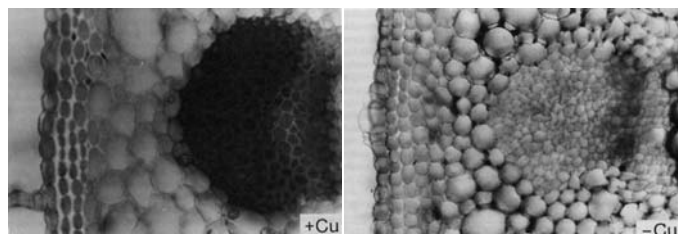
Estado nutricional de Calcio y la estructura fina de células de papa. Izquierda: calcio-suficiente; derecha: Calcio-deficiente, con pérdida de compartmentalización.



Fotografía electrónica de barrido (arriba) y imagen de rayos X mostrando la distribución de potasio (abajo) en estomas abiertos y cerrados de poroto.



Estructura fina de los cloroplastos en poroto de soya. Arriba: hierro-suficiente, abajo: hierro-deficiente



Secciones de tallo de girasol.

Izquierda: con suficiente suministro de cobre, paredes de las células del esclerénquima son gruesas y lignificadas.

Derecha: deficiente en cobre, paredes de las células del esclerenquima son delgadas y no lignificadas.



Deficiencia de Zinc en manzano. Se muestra la típica inhibición de la elongación de los internudos (arrosetamiento) y reducción del tamaño de las hojas.